

Богаткин Г.С.

МОДЕЛЬ ДВИЖЕНИЯ ПОТОКА ЖИДКОСТИ В КАНАЛЕ СТАТОРА РОТОРНОГО ИМПУЛЬСНОГО АППАРАТА

Работа выполнена под руководством д.т.н., проф. Промтова М.А.

*ТГТУ, Кафедра «Машины и аппараты
химических производств»*

Наглядная математическая модель, достаточно полно отражающая основные закономерности нестационарных гидромеханических процессов в канале статора роторного импульсного аппарата (РИА) базируется на уравнении Бернулли, записанном в нестационарной форме[1,2]:

$$\beta \cdot \left(l + (1 + \Gamma) \cdot \sqrt{\frac{S_0}{2\pi}} \right) \cdot \frac{dV}{dt} + \xi(t) \cdot \frac{V^2}{2} + \frac{B(t) \cdot v \cdot V}{2 \cdot d_s} = \frac{\Delta P_\Sigma}{\rho}, \quad (1)$$

где: β - коэффициент количества движения потока жидкости через прерыватель; $l = l_c + \delta + l_p$ - длина прерывателя, м; δ - величина зазора между ротором и статором, м; $V(t)$ - средняя по сечению канала статора скорость потока жидкости, м/с; $\lambda(t)$ - коэффициент гидравлического сопротивления трения; d_s - эквивалентный диаметр канала статора, м; $l_{c,p}$ - длина канала ротора, статора, м; $\xi(t)$ - суммарный коэффициент местного гидравлического сопротивления; $B(t)$ - коэффициент гидравлического сопротивления, учитывающий потери напора, линейно зависящие от скорости потока; v - коэффициент кинематической вязкости жидкости, м²/с²; $\Delta P = P_p - P_c$ - общий перепад давления между полостью ротора и камерой статора, Па; P_p - давление в полости ротора, Па; P_c - давление в камере статора, Па; ρ - плотность жидкости, кг/м³, $\Gamma = \sqrt{\frac{a_c \cdot h}{a_p \cdot h}}$ - отношение площади

выходного сечения канала статора к площади входного сечения канала ротора, $S_0 = a_c \cdot h$ - площадь сечения канала статора, м², $l = l_c + \delta$.

Коэффициент местного гидравлического сопротивления $\xi(t)$ зависит от площади $S(t)$, свободной для протекания обрабатываемой среды, и коэффициента ε , который определяется из таблицы Жуковского (табл. 1).

Таблица 1

s	0	0,1	0,2	0,3	0,4
ε	0,611	0,612	0,616	0,622	0,633

s	0,5	0,6	0,7	0,8	0,9	1,0
ε	0,644	0,662	0,687	0,722	0,781	1,000

В табл. 1 вместо площади свободного сечения прерывателя взята относительная площадь $s = \frac{S}{S_0}$. Данные из табл. 1 с помощью аппроксимации представляются в виде функции, которая имеет вид:

$$\varepsilon(s) = \frac{1}{\frac{4,5}{\exp(s)} - 2,88 \cdot \exp(s) + 7,17 \cdot s}. \quad (2)$$

Для расчета величины $B(t)$ использовали табл. 2 из справочника гидравлических сопротивлений.

Таблица 2

s	1,00	0,75	0,50	0,25
B	75	350	1300	3000

Данные из табл. 2 также представлены с помощью аппроксимации в виде функции:

$$B(s) = \exp(-10,58 \cdot s^2 + 8,18 \cdot \exp(s) - 7,34 \cdot s). \quad (3)$$

Относительная площадь проходного сечения прерывателя при вращении ротора РИКА определяется по формуле:

$$s(t) = \begin{cases} \left(1 - \frac{t \cdot \omega \cdot R_p}{a_c}\right) \cdot \sqrt{\left(\frac{t \cdot \omega \cdot R_p}{a_c}\right)^2 + \left(\frac{\delta}{a_c}\right)^2} + \left(\frac{t \cdot \omega \cdot R_p}{a_c}\right)^2; & 0 \leq t \leq \frac{a_c}{\omega \cdot R_p}; \\ 1; & \frac{a_c}{\omega \cdot R_p} < t \leq \frac{a_p}{\omega \cdot R_p}; \\ \left(\frac{t \cdot \omega \cdot R_p}{a_c} - \frac{a_p}{a_c}\right) \cdot \sqrt{\left(\frac{a_p}{a_c} + 1 - \frac{t \cdot \omega \cdot R_p}{a_c}\right)^2 + \left(\frac{\delta}{a_c}\right)^2} + \\ + \left(\frac{a_p}{a_c} + 1 - \frac{t \cdot \omega \cdot R_p}{a_c}\right)^2; & \frac{a_p}{\omega \cdot R_p} < t \leq \frac{a_p + a_c}{\omega \cdot R_p}; \\ \frac{\delta}{a_c}; & \frac{a_p + a_c}{\omega \cdot R_p} < t \leq \frac{b_c - a_p}{\omega \cdot R_p}. \end{cases} \quad (4)$$

Для решения дифференциального уравнения (2) необходимо задать начальное условие для ускорения:

$$\left. \frac{dV}{dt} \right|_{t=0} = 0. \quad (5)$$

Начальное условие для скорости $V(0)$ находится путем решения уравнения (1) при условиях (5) и $t=0$. Получается квадратное уравнение относительно $V(0)$:

$$V^2(0) \cdot \frac{1}{2} (\xi(0)) + V(0) \cdot \frac{B(0) \cdot \nu}{2 \cdot d_s} - \frac{\Delta P_\Sigma}{p} = 0.$$

(6)

Уравнение (1) решали методом Рунге-Кутты четвертого порядка.

В общем, виде метод Рунге-Куты состоит в следующем.

Пусть решение $y_n = y(t_n)$, уже известно. Задаются числовые

коэффициенты $a_i, b_{ij}, i=2,3,\dots,m, j=1,2,\dots,m-1, \sigma_i, i=1,2,\dots,m$, и

последовательно вычисляются функции

$$k_1 = f(t_n, y_n), \quad k_2 = f(t_n + a_2 \tau, y_n + b_{21} \tau k_1),$$

$$k_3 = f(t_n + a_3 \tau, y_n + b_{31} \tau k_1 + b_{32} \tau k_2), \dots,$$

$$k_m = f(t_n + a_m \tau, y_n + b_{m1} \tau k_1 + b_{m2} \tau k_2 + \dots + b_{m,m-1} \tau k_{m-1})$$

Затем из формулы

$$\frac{y_{n+1} - y_n}{\tau} = \sum_{i=1}^4 \sigma_i k_i$$

находится новое значение $k_{n+1} = y(t_{n+1})$.

Коэффициенты метода Рунге-Кутты 4-го порядка находятся из следующих соотношений:

$$k_1 = f(t_n, y_n), \quad k_2 = f\left(t_n + \frac{\tau}{2}, y_n + \frac{\tau k_1}{2}\right), \quad k_3 = f\left(t_n + \frac{\tau}{2}, y_n + \frac{\tau k_2}{2}\right)$$

$$k_4 = f(t_n + \tau, y_n + \tau k_3), \quad \frac{y_{n+1} - y_n}{\tau} = \frac{1}{6} \times (k_1 + 2k_2 + 2k_3 + k_4)$$

В нашем случае решение будет выглядеть следующим образом:

$$V(0) = \frac{-B(0) \cdot \nu + \sqrt{\left(\frac{B(0) \cdot \nu}{d_{\dot{y}\ddot{e}\ddot{a}}}\right)^2 + 2 \cdot \xi(0) \cdot \frac{\Delta P}{\rho}}}{\xi(0)}$$

$$k1 = \frac{\frac{\Delta P}{\rho} - \frac{\nu \cdot B(0) \cdot V(0)}{2 \cdot d_{\dot{y}\ddot{e}\ddot{a}}} - \xi(0) \cdot \frac{(V(0))^2}{2}}{\beta \cdot \left(l + (1 + \tilde{A}) \cdot \sqrt{\frac{S_0}{2 \cdot \pi}} \right)}$$

$$k2 = \frac{\frac{\Delta P}{\rho} - \frac{\nu \cdot B(0 + 10^{-6}/2) \cdot (V(0) + 10^{-6} \cdot k1/2)}{2 \cdot d_{\dot{y}\ddot{e}\ddot{a}}} - \xi(0 + 10^{-6}/2) \cdot \frac{(V(0) + 10^{-6} \cdot k1/2)^2}{2}}{\beta \cdot \left(l + (1 + \tilde{A}) \cdot \sqrt{\frac{S_0}{2 \cdot \pi}} \right)}$$

$$k3 = \frac{\frac{\Delta P}{\rho} - \frac{\nu \cdot B(0 + 10^{-6}/2) \cdot (V(0) + 10^{-6} \cdot k2/2)}{2 \cdot d_{\dot{y}\ddot{e}\ddot{a}}} - \xi(0 + 10^{-6}/2) \cdot \frac{(V(0) + 10^{-6} \cdot k2/2)^2}{2}}{\beta \cdot \left(l + (1 + \tilde{A}) \cdot \sqrt{\frac{S_0}{2 \cdot \pi}} \right)}$$

$$k_4 = \frac{\frac{\Delta P}{\rho} - \frac{\nu \cdot B(0+10^{-6}) \cdot (V(0)+10^{-6} \cdot k_3)}{2 \cdot d_{\text{в\ddot{e}a}}} - \xi(0+10^{-6}) \cdot \frac{(V(0)+10^{-6} \cdot k_3)^2}{2}}{\beta \cdot \left(l + (1 + \tilde{A}) \cdot \sqrt{\frac{S_0}{2 \cdot \pi}} \right)}$$

$$V_{n+1} = V_n + \left(10^{-6} / 6 \right) \cdot (k_1 + 2 \cdot k_2 + 2 \cdot k_3 + k_4)$$

Организуется цикл с заранее известным числом шагов и строится график скорости от времени. Далее по формуле:

$$P(t) = \rho \cdot \frac{dV(t)}{dt} \cdot \left(\frac{S_{\text{max}}}{2 \cdot \pi} \right)^{0.5}$$

определяется давление в канале статора.

Численный метод решения уравнения (1) позволяет определить зависимости скорости $V(t)$ и давления $P(t)$ потока жидкости в канале статора от времени (рис 1.)

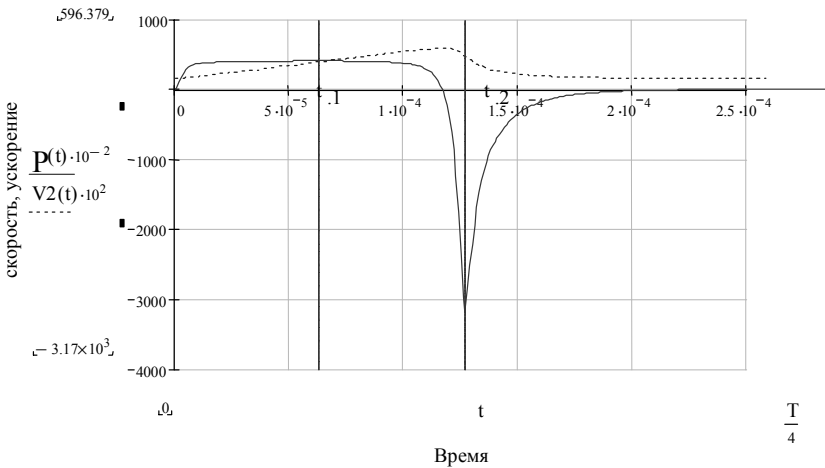


Рис. 1. Зависимость скорости и давления потока жидкости в канале статора от времени

Список литературы

1. Промтов М.А., Пульсационные аппараты роторного типа. Теория и практика.-М.: «Машиностроение», 2001.-260с.
2. Балабышко А.М., Зимин А.И., Ружицкий В.П. Гидромеханическое диспергирование. М.: Наука 1998 338с.
3. Самарский А.А., Гулин А.В. Численные методы М.: Наука, 1989.-427с.